# А.Н.Туров, Е.А.Покушалов, П.Л.Шугаев

# ОСОБЕННОСТИ ВХОДЯЩЕЙ АКТИВАЦИИ УСТЬЕВ ЛЁГОЧНЫХ ВЕН

ФГУ «Новосибирский НИИ патологии кровообращения им. акад. Е.Н.Мешалкина Федерального агентства по здравоохранению и социальному развитию», Новосибирск, Россия

С целью обобщения опыта картирования возбуждения входящего в устья легочных вен на основании электрофизиологических данных, полученных в процессе их катетерной изоляции проанализированы результаты исследований, проведенных у 117 пациентов с фибрилляцией предсердий

Ключевые слов а: фибрилляция предсердий, легочные вены, электрофизиологические свойства, левое предсердие, учащающая электрокардиостимуляция, категер Lasso

To summarize the experience of mapping of incoming activation to the pulmonary vein ostia based on the analysis of electrophysiological data obtained in the course of the pulmonary vein catheter isolation, the results of the study performed in 117 patients with atrial fibrillation were analyzed.

Key words: atrial fibrillation, pulmonary veins, electrophysiological properties, left atrium, increment pacing, Lasso catheter.

В 1998 году в своей классической работе «Spontaneous initiation of atrial fibrillation by ectopic beats originating in the pulmonary veins» Mishel Haissaguerre [4] впервые показал инициацию изолированной фибрилляции предсердий (ФП) в устьях лёгочных вен (ЛВ) - УЛВ. Работы школы Бордо открыли впервые новую мищень для интервенционного воздействия на субстрат ФП в виде фокусных аблаций, а затем и изоляции УЛВ. Это запустило целую серию исследовательских и экспериментальных работ по изучению анатомии и гистологии миокарда УЛВ [7], его электрофизиологических характеристик [5]. Однако отсутствуют исследования, касающиеся характеристик входящей активации зоны на границе между левым предсердием (ЛП) и ЛВ (агрио-венозный контакт, ABK, atriopulmonary venous junction). В то же время именно АВК является зоной пристального хирургического интереса, поскольку радиочастотное (РЧ) воздей-

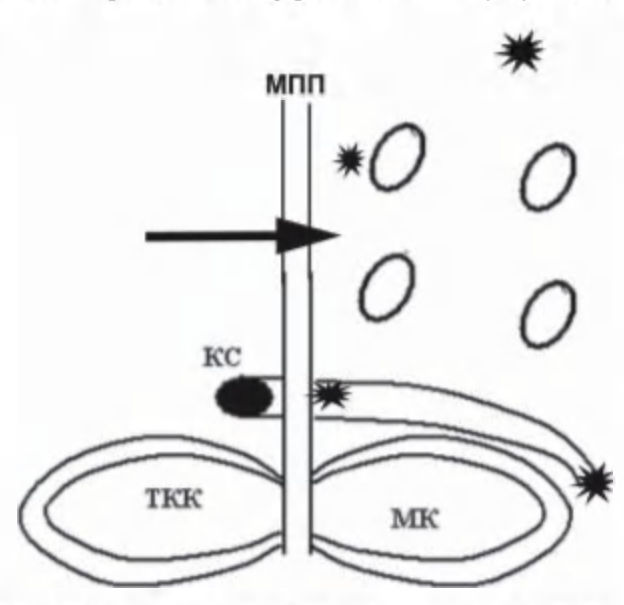


Рис. 1. Топография мест диагностической электростимуляции (указаны звёздочками). Стрелка показывает направление активации при синусовом ритме. МК - митральный клапан, ТКК - трикуспидальный клапан, КС - коронарный синус, МПП межпредсердная перегородка.

© А.Н.Туров, **Е**.А.Покушалов, П.Л.Шугаев

ствие на этом уровне приводит к полной изоляции аритмогенного миокарда ЛВ независимо от степени его аритмогенности. Это делает полное прерывание электрического сообщения между ЛП и ЛВ - «конечной точкой» в аблации у пациентов с ФП [8]. В связи с этим целью данного исследования явилось обобщение опыта картирования входящего возбуждения в устья ЛВ на основании анализа электрофизиологических (ЭФ) данных, полученных в процессе катетерной изоляции устьев ЛВ.

### МАТЕРИАЛ И МЕТОДЫ И ССЛЕДОВАНИЯ

Проанализированы результаты ЭФ исследований, проведенных у 117 пациентов с ФП перед изоляцией 468 вен до начала самого РЧ воздействия.

Протокол исследования включал следующие этапы:

- Оценку входящей активации в ены на синусовом ритме,
- Оценку входящей активации вены (см рис. 1) при асинхронной учащающей электро стимуляции (ЭКС) из нескольких областей:
- проксимальной пары коронарного синуса (CSprox), что соответствовало активации нижней трети межпредсердной перегородки,
- дистальной пары коронарного синуса (CSdist), что соответствовало активации базального участка боковой стенки левого предсердия (ЛП),
- крыши ЛП,
- области устья правой верхней ЛВ (ПВЛВ).
- 3. Оценку активации вены в процессе её РЧ изоляции.

Активация исследоватась при помощи электрода Lasso, который последовательно вводился глубоко в каждую ЛВ и продвигался затем по направлению к ЛП до возникновения электрограммы, характерной для АВК. Данная электрограмма определялась наличием двух потенциалов: А - активации левого предсердия и PV - активации (спайка) миокардалёточной вены (рис. 2). PV-спайком считали потенциал амплитудой более 0,3 мВ при регистрации без использования низкочастотного фильтра.

#### ПОЛУЧЕННЫЕ РЕЗУЛЬТАТЫ.

Анализ активации УЛВ позволил выделить два типа входящего возбуждения (табл. 1):

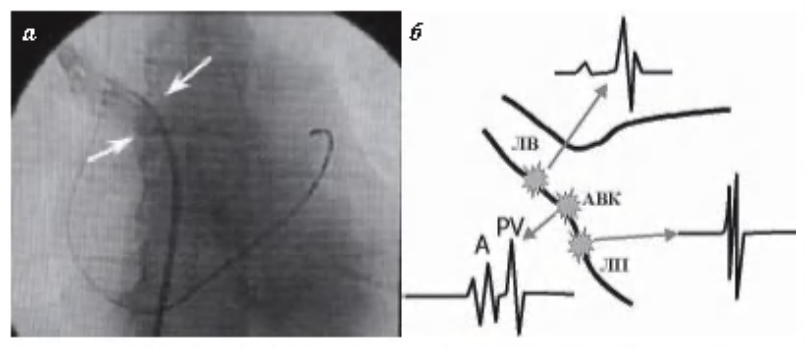


Рис. 2. Анатомические и электрофизиологические критерии ABK: а - контрастирование правой верхней ЛВ, АВК указан стрелками; б - морфология электрограммы АВК (ЛП - левое предсердие, ЛВ - лёгочная вена. АВК - атрио-венозный контакт). Таблица 1.

Особенности входящего возбуждения в лёгочную вену

Характеристика	wide connection (I)	narrow gate (II)		
ΔΡV, Με	<20 мс	>20 мс		
Изменение вектора ЭКС	изменение точки прорыва	-		
Реакция на проведение РЧ изоляции устья	-	изменение фронта активации PV		

I активация вены широким фронтом, что говорило о широком сообщении между миокардом ЛП и ЛВ («wide connection»);

II активация вены через небольшой участок («коридор») с дальнейшим её возбуждением уже изнутри вены по всему периметру («патоw gate»).

В качестве факторов, определяющих принадлежность входящей активации к одному из этих типов, выделены три критерия:

дисперсия потенциалов PV (ΔPV) (рис. 3, 4). При активации первого типа миокард области УЛВ возбуждался практически одновременно, а ΔPV составляла не более

20 мс (7,3±1,1 мс; от 0 до 16 мс). При активации второго типа возбуждение вены осуществлялось по периметру вены из одной точки (через узкий «коридор»), а  $\Delta$ PV составляла более 20 мс (29,1±1,9 мс; от 21 до 36 мс). Соответственно этому при активации «коридорного» типа можно было выделить «точку прорыва» возбуждения и эффект слияния (fusion) на противоположных парах.

2) активация венозной муфты при ЭКС из различных участков (рис. 5-7, рис. 5 см. на цветной вклейке). Изменение вектора возбуждения ЛП при активации первого типа приводило к соответствующему смещению точки «входа» в направлении источника стимуляции по ходу АВК. При активации второго типа изменение области стимуляции приводило к сохранению точки прорыва в ЛВ через «коридор».

 реакция на проведение аблации точки «прорыва» устья являлась наиболее точным критерием (рис. 8-9).

При активации первого типа в процессе

аблации отмечалось смещение точки «входа» возбуждения к соседним участкам, что постепенно сужало зону контакта миокарда ЛП и ЛВ и переводило в конечном итоге вену первого в вену «коридорного» типа.

При активации второго типа точечная аблация зоны «прорыва» приводила к закрытию данного «входа» на первой-третьей аппликации, что проявлялось одним из двух феноменов:

-блокадой УЛВ с исчезновением потенциалов PV на всех парах Lasso (в том случае, если данная вена имела лишь один «коридор»), что наблюдалось в 35,6% ЛВ с этим типом активации (рис. 10, 11).

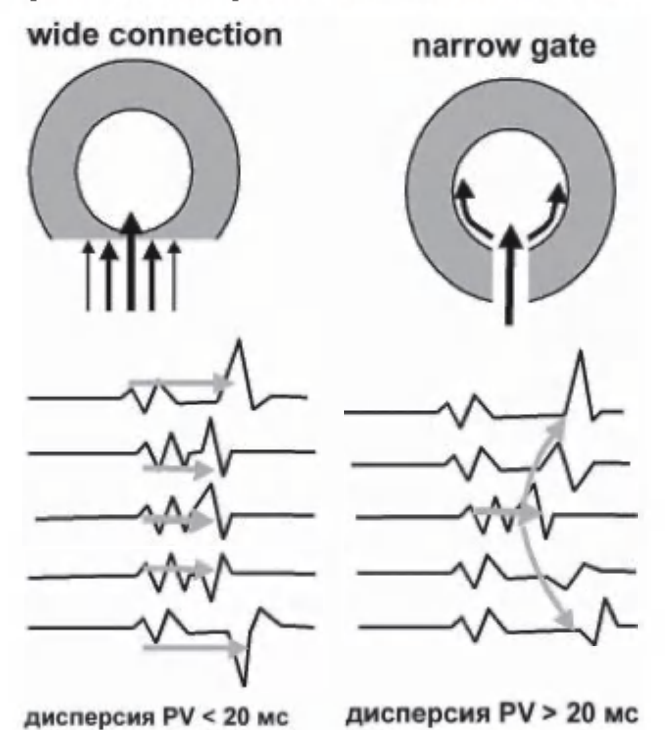


Рис. 3. Механизм дисперсии спайков ЛВ при двух типах активации.

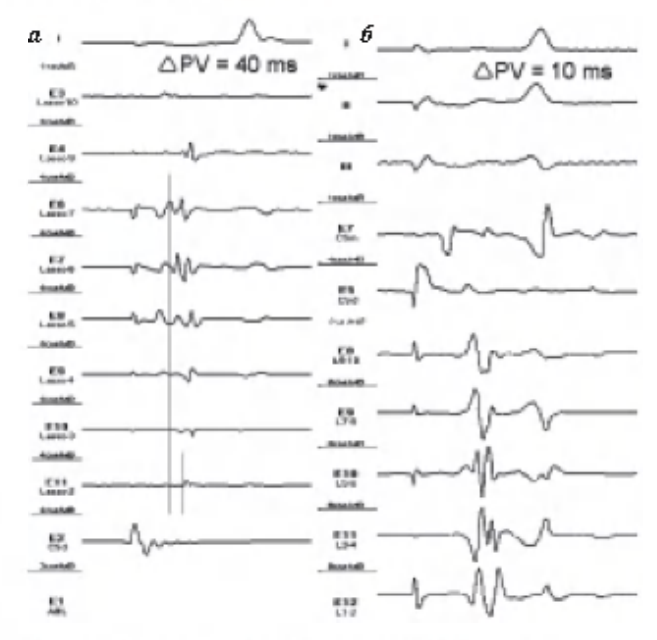


Рис. 4. Примеры дисперсии спайков ЛВ при двух типах активации: а - активация второго типа в правой верхней ЛВ на синусовом ритме; б - активация первого типа в левой верхней ЛВ во время ЭКС ЛП.

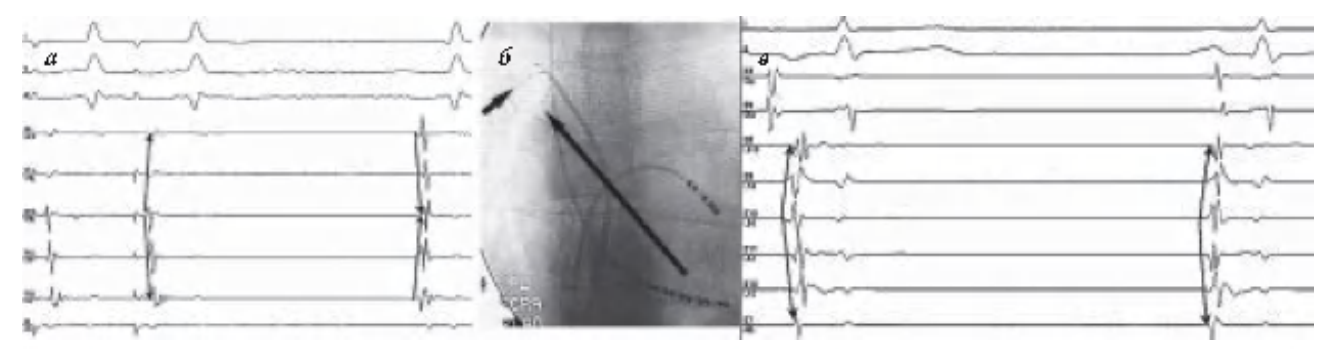


Рис. б. Примеры реакции ЯВ с разным типом входящего возбуждения на изменение вектора активации ЯП: элеюпрограммы (а) и рентгенографическое положение элеюпродов (б) вены с первым типом активации, стрелки показывают изменение входа активации от третьей пары при ЭКС из коронарного синуса (слева) к пятой паре при синусовм возбуждении (справа); в - вена со вторым типом активации, на синусовом ритме и при ЭКС отмечается входящая активация на 3-ей паре.

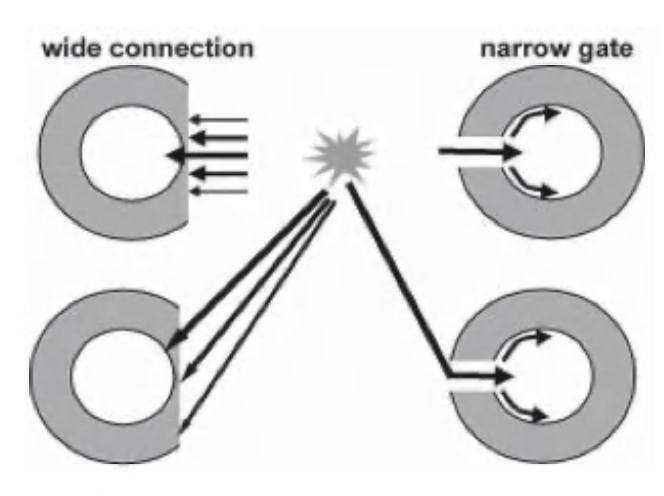
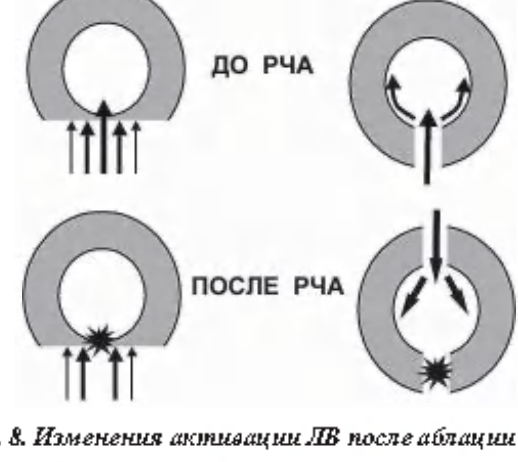


Рис. 7. Механизм изменения аюпивации ЛВ при ЭКС из различных участков.



narrow gate

wide connection

Рис. 8. Изменения активации ЛВ после аблации точки апрорыва».

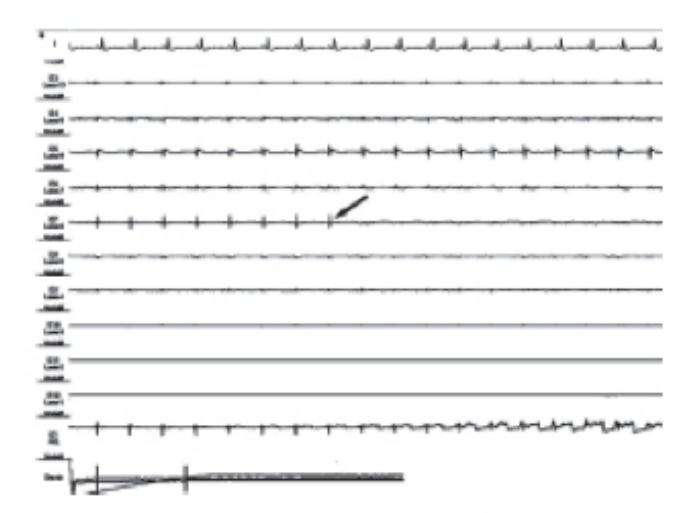


Рис. 9. Момент аблации устья правой верхней ЛВ у больного Т. Воздействие на шестой паре Lasso при водит к локальному исчезновению спайков без изменения характера активации вены, что говорит об аюпивации первого типа.

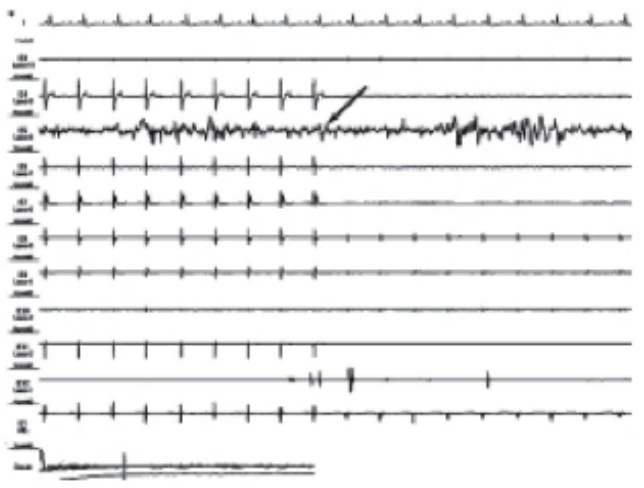


Рис. 10. Момент аблации устья ЛНЛВ у больной К. Воздействие на восьмой паре Lasso приводит к полному исчезновению спайковой активности на всех остальных парах (где сохраняются лишь потенциалы ЛП), что говорит об устранения «коридора» входящей активации.

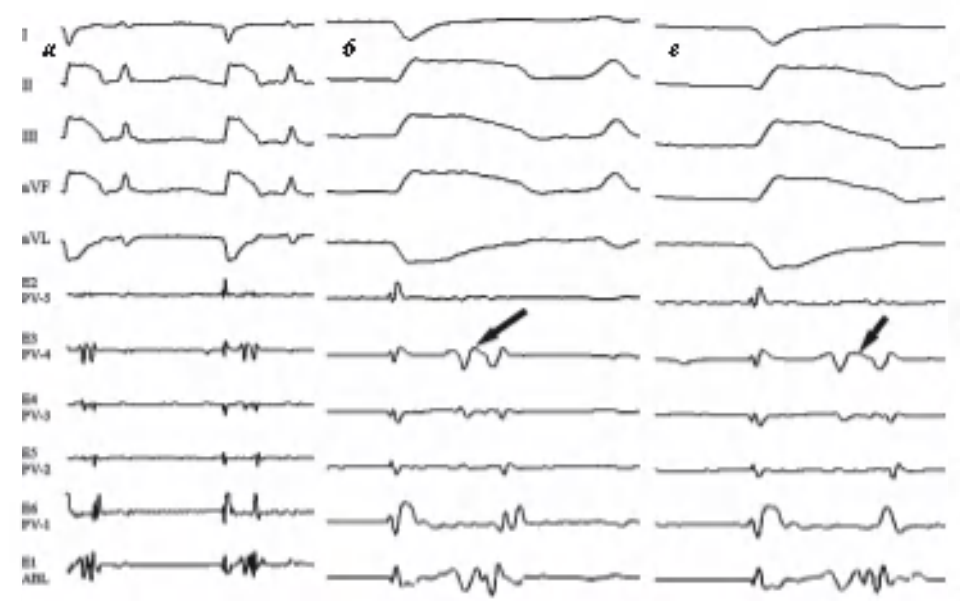


Рис. И. Стимупяционния активиция певой нижней ЛВ больной Из а, 6 - состояние до аблиции с апрорывом» на чет вёртой паре Lasso (PV-4) и дисперсией спайков ЛВ 29 мс, что говорит об активиции второго типа; в - состояние после РЧ воздействия в обпасти точки апрорывам с удпинением интервали А-PV на 20 мс без изменения характера активации на других парах, что является доказательстом замедления проведения через акоридор», последующая аппликакция в этом же месте привела к полной изоляции вены.

 - блокада данного «окоридора» с активацией ЛВ через новый «окоридор» (при наличии более чем одного независимого участка соприкосновения мискарда ЛП и ЛВ), что наблюдалось в 64,4% ЛВ с этим типом активации (рис. 12).

В соответствии с описанными типами активации, выделены четыре типа лёгочных вен:

- 1. Веньте отсутствием электрической активности (комолчащием веньт; 13 5 вен; 28,8%).
- Behst, имеющие один вход по типу (wide connection): {196 вен; 41,9%}.
- Вены, имеющие один вход потилу «озатом gate» (47 вен; 10%).
- Вены, имеющие смешанную структуру входящей активации (90 вен; 19,3%), среди них
- сочетание «I+b» (б вен; 1,3%),
- сочетание (d+Ib) (48 вен; 10,3%),
- сочетание (d+H+H)) (3 вены; 0,6%).
- сочетание «dI+Ib» (30 вена; 6,4%),
- сочетание «dI+II+II» (3 вены; 0,6%).

Основным документальным подтверждением нескольких мест входящего всобуждения вены являгось кардинальное изменение фронта активации вены после устранения исходного (спрорыва) (рис. 13).

Ширина еходящей активации

Дополнительно, проведена оценка протяжённости электрически активного мискарда устья по отношению к периметру вень (Lpv), которая рассчитывалась по следующей формуле:

Lpv-(Npv/Npx100%

где, Npv - количество пар Lasso, на которых регистрировалась спайковая активность, N - общее количество пар Lasso, контактирующих со стенкой вены.

Протяжённость миокарда устья составляла от 0% до 100%, причём в венах с первым типом активации -78,6±1,3% (от 30% до 100%), а в венах со вторым типом активации - 18,3±0,9% (от 5% до 90%; р < 0,05).

Для определения ширины места прорыва рассчитывался коэффициент Lgap по спедующей формуле:

Lgap—(Nabl.N)х100% где, Nabl - количество пар Lasso, при аблации на клюрых произошло исчезновение активации муфты ЛВ; таким образом, это значение отражало ширину зоны «прорыва» (зоны соприкосновения миокарда ЛП и ЛВ), N - общее количество пар Lasso, контактирующих со стенкой ЛВ.

Значения Lgap варыиро-

вали от 5 до 100%, причём в венах с первым типом активации - 76,9±1,5% (от 30% до 100%) и у пациентов со вторым типом активации - 17,0±0,9% (от 5% до 30%; р<0,05).

Обнаружение различной протяжённости мискарда по периметру в венах с обсими типами активации позволило въщенить внутри второгои третьего типов вен два подтипа:

2А - вены скопирокой» активацией по всему периметру; Lpv≥70% (110вен; 23,5%);

2В - вены с «широкой» активацией участка вены; Lpv<70% (86 вен; 18,4%);</p>



Рис. 12. Характер стимутяционной активации правой нижней ЯВ у ботьного Г. до (а) и после (б) нескольких аппликаций в зоне ипрорывать. До аблации возбуждение распространяется от 1 и 5 пар к третьей; после аблации на первой паре - от пятой пары к первой, что говорит об активации вены через новый не функционирующий до этого авходь.

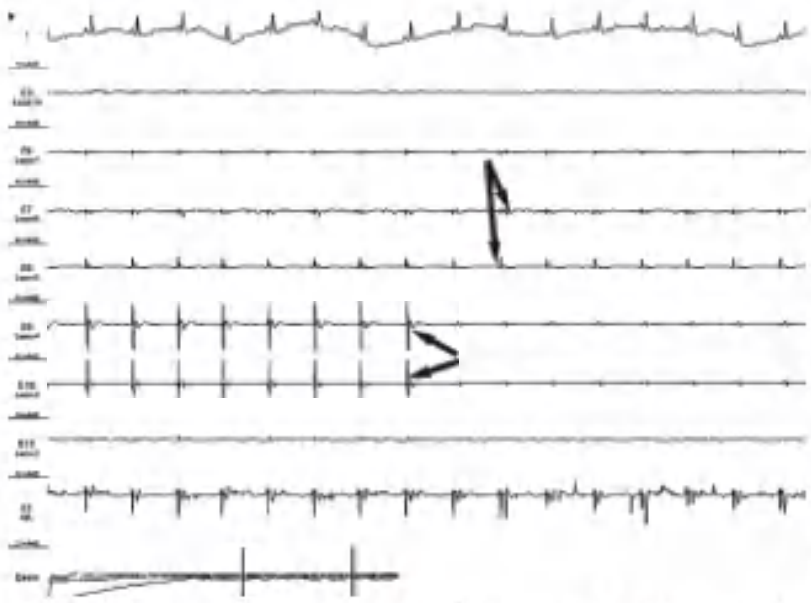


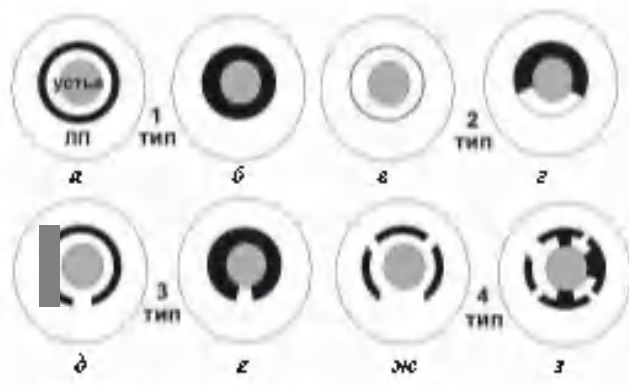
Рис. 13. Момент аблации в точке неходящего» возбуждения левой верхней ЛВ у больной С. В процессе воздействия на второй паре Lasso отмечается исчезновение активности на 2-4 парах (горизонтальные стрелки), которые активировались через нкоридор» второй пары. В то же время сохраняется спайковая активность на Lasso-5, 6, 7, которые возбуждаются через второй, нскрытый» до этого времени неход».

3А - вены с «коридорной» активацией большой площади вены; Lpv≥30% (20 вен; 4,3%),

3В - вены с «коридорной» активацией участка вены, в которых электрически активный мизжард распределялся в виде продольной полоски, Lpv<30% (27 вен; 5,7%).</p>

Рис. 14 показывает различные варианты взаимодействия миокарда ABK и самой муфты. Отсутствие электрической активностив венах первого типаможет объясняться двумя причинами: полной циркулярной блокадой на уровне ABK (рис. 14,а) либо склерозом самого миокарда муфты (рис. 14,б). В любом случае, этот тип должен соответствовать выраженным дегенерацивным процессам в устье ЛВ.

В венах второго типа активация осуществляется широким фронтом, что говорит об относительной сохранности и АВК имиокарда вены. Для постижения эффекта изопяции вены 2 А типа (рис. 14,в) требуется создание цир купярной линии, при 2В типе (рис. 14,г) - несколью апшикаций, изопирующих активный участок.



Puc. 14. Разпичные варианты электрического возбуждения устыев лёго чных вен. Объяснения в тексте.

Ввенах третьег отипа активация осуществляется через единственный узмий «коридор» активного мнокарда в АВК и возбуждает вену либо по всему периметру (рис. 14,д), либо такую же узкую продольную полоску при субтотальном склерозе мнокарда вены (рис. 14,е). В любом случае для достижения изоляции достаточно нанесения одной-трёк аппликаций в области «коридора».

Мискардвен четвёртого типа может иметь самое причудливое и сложное строение. Рис. 14,ж показывает вену с пиркулярным миокардом, который может активироваться через три ((входа)). Следовательно, при устранении одного из них в процессе аблации характер возбуждения вены поменяется и будет осуществляться через другой «вход». Нарис. 14 з показана вена, мискард которой разоминут на три сегмента, каждый из которых активирустая через отдельный (в ход», а левый сегмент - через два участка. Спедовательно, устранение каждого «входа» в процессе аблации приверёт к исчезновению активации соответствующего мискардиаль-

ного сегмента без изменения возбуждения в других участках. На основании вышеизложенного, можно расположить типы вен в порядке усиления дегенеративных процессов УЛВ спедующим образом: 2A - 3A - 2B - 4 - 3B - 1.

Таким образом, в процессе изследования обнаружен полиморфизм входящей активации ЛВ. В 19,3% случаев отмечались дополнительные участки «скрытого» входящего возбуждения, которые могли быть обнаружены пишь при изменении вектора активации ЛП или после устранения основной «входящей» активации. В 86/90 венах со смещанной входящей активацией область преимущественного всебуждения соответствовала медиальному сегменту периметра, что соответствует вектору синусового всебуждения

Особенности атрио-венозных контактов ЛВ

Табл. 2. демонстрирует качественные отличия ЭФ свойств верхних и нижних ЛВ. В частности, нижние ЛВ по сравнению с верхними чаще имели «коридорный» (третий») типактивации (16,7% и 3,5% соответственно), смещанный («четвёртый») типактивации (25,6% и 12,8% соответственно), также чаще регистрировалюсь отсут-

Таблица 2. Распределение атрио-венозных контактов в зависимости от топографии устьев лёгочных вен

Тип вены	nene	TETE	пнив	лнив
1, %	20,5	18,7	32,6	43,6
Й, %	58,1	70,1	22,2	17,1
ш,%	3,5	3,5	16,2	17,1
IV, %	17,9	7,7	29	22,2
Lpv, %	56,6±1,1	45,6±1,5	29,6±1,0	24,6±1,3

где, ПВЛВ - правые верхопе, ЛВЛВ - левые верхопе, ПНЛВ - правые можноге, ЛНЛВ - левые можноге легочного векы

ствие электрической активности («молчащие» вены) (38% и 19,7% соответственно). Напротив, в верхних ЛВ преобладала входящая активация «широким фронтом» (19,7% и 64,1% соответственно). Протяжённость атрио-венозного контакта располагалась в нисходящем порядке следующим образом: ПВЛВ - ЛВЛВ - ПНЛВ - ЛНЛВ, причём значимые различия (p<0,05) получены лишь для верхних и нижних ЛВ (51,3 $\pm$ 1,4% и 27,1 $\pm$ 1,1% соответственно; p=0,005). Различия по указанным параметрам между правыми и левыми венами были не достоверны.

#### ОБСУЖДЕНИЕ РЕЗУЛЬТАТОВ

В процессе исследования были выделены два типа входящей активации УЛВ и четыре разновидности ЭФ свойств её миокардиальной муфты. Ключевым моментом к подобному разделению явилась реакция предсердно-венозного проведения в ответ на аблацию на уровне устья, а также характер активации вены при изменении места ЭКС. Впервые показана возможность существования нескольких мест «входящей» активации, одно из которых является доминирующим, а остальные - «скрытыми». Наши данные о существовании нескольких мест «входящей» активации УЛВ подтверждаются данными Goya M. [2], который обнаружил подобную закономерность в отношении устья верхней полой вены. Более глубокое понимание особенностей АВК несомненно поможет интервенционым электрофизиологам при выполнении остиальных аблаций.

В предшествующих работах уже были установлены качественные отличия верхних и нижних ЛВ в отношении формы устьев [11], что связано с прилеганием нижних вен к главным бронхам. Макроанатомические и

гистологические исследования показали, что верхние ЛВ имеют более широкие [6], протяжённые [10] и мощные [9] миокардиальные муфты по сравнению с нижними венами. Haissaguerre M. et al. [3] отметил более частую инициацию ФП именно в верхних ЛВ. Yamane Т. [12] продемонстрировал, что верхние ЛВ активируются обычно через нижние сегменты, в то время как нижние - преимущественно через верхние сегменты. В нашей работе получены ЭФ различия АВК между нижними и верхними ЛВ, доказывающие значимую ЭФ гетерогенность анатомического устья нижних вен, что возможно играет большую роль в поддержании патологического возбуждения, инициирующегося в других венах. Chen S.A. et al. [1] показал значимые отличия в возбудимости и проводимости правых и левых ЛВ, однако, наше исследование не обнаружило таких закономерностей.

#### выводы

- 1. Анализ Lasso-электрограмм на уровне анатомического устья лёгочной вены позволяет оценить характер её входящей активации и количество зон «входа» в вену.
- 2. По нашим данным 19,3% лёгочных вен имеют несколько участков «входа», один из которых является доминирующим (функционирует на синусовом ритме), а остальные скрытыми (активируются при изменении фронта левопредсердного возбуждения либо после аблации основного «входа»).
- 3. Нижние лёгочные вены имеют преимущественно «коридорный» (16,7%), многоканальный (25,6%) тип активации либо блок проведения на уровне АВК (38%). Напротив, в верхних лёгочных венах преобладает входящая активация «широким фронтом» (64,1%).

#### ЛИТЕРАТУРА

- 1. Chen S.A., Hsieh M.H., Tai C.T. et al. Initiation of atrial fibrillation by ectopic beats originating from the pulmonary veins: electrophysiological characteristics, pharmacological responses, and effects of radiofrequency ablation // Circulation. 1999. V.100. P.1879-1886.
- 2. Goya M., Ouyang F., Ernst S. et al. Electroanatomic mapping and catheter ablation of breakthroughs from the right atrium to the superior vena cava in patients with atrial fibrillation//Circulation.- 2002. V.106. P.1317
- 3. Haissaguerre M., Jais P., Shah D.C. et al. Electrophysiological end point for catheter ablation of atrial fibrillation initiated from multiple pulmonary venous foci // Circulation. -2000. -V.101 -P.1409-1417.
- 4. Haissaguerre M., Jais P., Shah D.C. et al. Spontaneous initiation of atrial fibrillation by ectopic beats originating in the pulmonary veins //NEJM. 1998. V.339. P.659-666.
- 5. Haissaguerre M., Sanders P., Hocini M. et al. Pulmonary veins in the substrate for atrial fibrillation: The "venous wave" hypothesis // J. Am. Coll. Cardiol. 2004. V.43. P.2290-2292.
- 6. Hamabe A., Okuyama Y., Miyauchi Y. et al. Correlation between anatomy and electrical activation in canine pulmonary veins // Circulation. 2003. V.107. P.1550-1555.

- 7. Hassink R.J., Aretz H.T., Ruskin J. et al. Morphology of atrial myocardium in human pulmonary veins. A postmortem analysis in patients with and without atrial fibrillation // J. Am. Coll. Cardiol. 2003. V.42. P.1108-1114.
- 8. Lemola K., Oral H., Chugh A. et al. Pulmonary vein isolation as an end point for left atrial circumferential ablation of atrial fibrillation // J. Am. Coll. Cardiol. 2005. V.46. P.1060-1066.
- 9. Nathan H., Eliakim M. The junction between the left atrium and the pulmonary veins: an anatomic study of human hearts//Circulation. -1966. V.34. P.412-422
- 10. Tagawa M., Higuchi K., Chinushi M. et al. Myocardium extending from the left atrium onto the pulmonary veins // Pacing Clin. Electrophysiol. 2001. V.24. P.1459-1463.
- 11. van der Voort P. H., van den Bosch H., Post J. C. et al. Determination of the spatial orientation and shape of pulmonary vein ostia by contrast-enhanced magnetic resonance angiography //Europace. 2006. V.8(1). P.1 6.
- 12. Yamane T., Shah D.S., Jais P. et al. Electrogram polarity reversal as an additional indicator of breakthroughs from the left atrium to the pulmonary veins // J. Am. Coll. Cardiol. -2002. V.39. P.1337-1344.

## ОСОБЕННОСТИ ВХОДЯЩЕЙ АКТИВАЦИИ УСТЬЕВ ЛЁГОЧНЫХ ВЕН

А.Н.Туров, Е.А.Покушалов, П.Л.Шугаев

С целью обобщения опыта картирования входящего возбуждения в устья легочных вен (ЛВ) на основании электрофизиологических (ЭФ) данных, полученных в процессе катетерной изоляции устьев ЛВ проанализированы результаты исследований, проведенных у 117 пациентов с фибрилляцией предсердий (ФП) перед изоляцией 468 ЛВ. Оценивали входящую активацию ЛВ на синусовом ритме, при электростимуляции (ЭКС) из коронарного синуса (проксимальной и дистальной пар), крыши левого предсердия, области устья правой верхней ЛВ, а также активацию ЛВ в процессе их радиочастотной изоляции. Активация исследовалась при помощи электрода Lasso.

Анализ активации устьев ЛВ позволил выделить активацию ЛВ широким фронтом («wide connection») и через небольшой участок - «коридор» («пагтоw gate»). В соответствии с описанными типами активации, выделены четыре типа ЛВ: с отсутствием электрической активности («молчащие» вены; 135 вен; 28,8%), имеющие один вход по типу «wide connection» (196 вен; 41,9%), имеющие один вход по типу «пагтоw gate» (47 вен; 10%), со смешанной структурой активации (90 вен; 19,3%). Ключевым моментом к подобному разделению явилась реакция предсердно-венозного проведения в ответ на аблацию на уровне устья, а также динамика характера активации вены при изменении места ЭКС. Впервые показана возможность существования нескольких мест «входящей» активации, одно из которых является доминирующим, а остальные - «скрытыми». Получены различия атриовенозных контактов между нижними и верхними ЛВ, доказывающие значимую ЭФ гетерогенность анатомического устья нижних ЛВ, что возможно играет большую роль в поддержании патологического возбуждения, инициирующегося в других венах.

Таким образом, анализ Lasso-электрограмм на уровне анатомического устья ЛВ позволяет оценить характер её входящей активации и количество зон «входа» в вену. По нашим данным 19,3% лёгочных вен имеют несколько участков «входа», один из которых является доминирующим (функционирует на синусовом ритме), а остальные - скрытыми (активируются при изменении фронта левопредсердного возбуждения либо после аблации основного «входа»). Нижние лёгочные вены имеют преимущественно «коридорный» (16,7%), многоканальный (25,6%) тип активации либо блок проведения на уровне атриовенозных контактов (38%). Напротив, в верхних лёгочных венах преобладает входящая активация «широким фронтом» (64,1%).

# PECULIAR FEATURES OF INCOMING ACTIVATION OF PULMONARY VEIN OSTIA A.N. Turov, E.A. Pokushalov, P.L. Shugaev

To summarize the experience of mapping of incoming activation of the pulmonary vein ostia on the grounds of analysis of electrophysiological data in the course of catheter isolation of the pulmonary vein ostia, the results of examinations performed in 117 patients with atrial fibrillation prior to the isolation procedure of 468 pulmonary veins were analyzed. The incoming activation of pulmonary veins at the sinus rhythm was assessed in pacing from the coronary sinus (proximal and distal pairs), the left atrium roof, the right upper pulmonary vein ostium, and the pulmonary vein activation in the course of their radiofrequency isolation were evaluated as well.

The analysis of the pulmonary vein ostia activation permitted one to reveal the pulmonary vein activation by "wide connection" and through "narrow gate". In accordance with the types of activation earlier described, four following types of pulmonary veins were selected: with absence of electrical activity ("silent" veins; 135 veins, 28.8%), with one entry by "wide connection" type (196 veins, 41.9%), with one entry by "narrow gate" type (47 veins, 10%), and with a combined structure of activation (90 veins, 19.3%). The main aspect contributing to this differentiation was the response of the atrioventricular conduction to the ablation at the level of ostium as well as the dynamic of the vein activation in the course of change of the pacing site. A possible existence of several sites of incoming activation was shown for the first time, one of them being the dominating one and other sites, latent ones. The differences in atrio-venous contacts between inferior and superior pulmonary veins were observed witnessing a significant electrophysiological heterogeneity of anatomiv ostium of the inferior pulmonary veins, that probably played an important role in maintenance of a pathological excitement initiated in other veins

Thus, the analysis of Lasso-electrograms at the level of the pulmonary vein anatomic ostia allows one to assess the character of its incoming activation and the number of "entrance" sites to the vein. According to the authors' data, 19.3% of pulmonary veins have several "entrance" sites, one of them being dominating (it functionates at the background of the sinus rhythm), other ones being latent (they are activated in the course of changes in the front of left-atrial excitement or after ablation of the main "entrance"). The inferior pulmonary veins have predominantly "corridor" (16.7%) or multi-channel (25.6%) types of activation or a conduction block at the level of atrio-ventricular contacts (38%). On the contrary, the incoming activation by "wide connection" prevails in superior pulmonary veins.